

# Практическое задание 1. Байесовские рассуждения

Янаков Дмитрий Спартакович, 417 группа, 1 Вариант

3 октября, 2022

## 1 Вывод формул для распределений

$$p(a, b, c, d) = p(a)p(b)p(c|a, b)p(d|c)$$

Для обеих моделей:

$$p(a) = \frac{1}{a_{max} - a_{min} + 1}$$
$$p(b) = \frac{1}{b_{max} - b_{min} + 1}$$

Модель 1:

$$p(c|a, b) = \sum_{i=0}^{\min(a, c)} C_a^i p_1^i (1 - p_1)^{a-i} C_b^{c-i} p_2^{c-i} (1 - p_2)^{b-c+i}$$

Модель 2:

$$p(c|a, b) = \frac{(ap_1 + bp_2)^c}{c!} e^{-(ap_1 + bp_2)}$$

Для обеих моделей:

$$p(c|a) = \sum_{b=b_{min}}^{b_{max}} p(c|a, b)p(b)$$
$$p(c|b) = \sum_{a=a_{min}}^{a_{max}} p(c|a, b)p(a)$$
$$p(c) = \sum_{a=a_{min}}^{a_{max}} \sum_{b=b_{min}}^{b_{max}} p(c|a, b)p(a)p(b)$$
$$p(d|c) = C_c^{d-c} p_3^{d-c} (1 - p_3)^{2c-d}$$
$$p(d) = \sum_{c=0}^{a_{max}+b_{max}} p(d|c)p(c)$$
$$p(c|d) = \frac{p(d|c)p(c)}{p(d)}$$
$$p(c|a, b, d) = \frac{p(a, b, c, d)}{\sum_{c=0}^{a_{max}+b_{max}} p(a, b, c, d)}$$

То есть единственным отличием в данных моделях является подсчет распределения  $p(c|a, b)$ .

## 2 Математические ожидания и дисперсии априорных распределений

### 2.1 Математические ожидания

Для обеих моделей:

$$\mathbb{E}a = \frac{a_{min} + a_{max}}{2}$$
$$\mathbb{E}b = \frac{b_{min} + b_{max}}{2}$$

$$\mathbb{E}[c|a, b] = p_1 a + p_2 b$$

$$\mathbb{E}[d|c] = c + p_3 c$$

По свойству условного математического ожидания:

$$\mathbb{E}c = \mathbb{E}[\mathbb{E}[c|a, b]] = p_1 \mathbb{E}a + p_2 \mathbb{E}b$$

$$\mathbb{E}d = \mathbb{E}[\mathbb{E}[d|c]] = \mathbb{E}c + p_3 \mathbb{E}c = (1 + p_3) \mathbb{E}c$$

## 2.2 Дисперсии

Для обеих моделей:

$$\mathbb{D}a = \frac{(a_{max} - a_{min} + 1)^2 - 1}{12}$$

$$\mathbb{D}b = \frac{(b_{max} - b_{min} + 1)^2 - 1}{12}$$

Модель 1:

$$\begin{aligned} \mathbb{D}c &= \mathbb{E}[\mathbb{D}[c|a, b]] + \mathbb{D}[\mathbb{E}[c|a, b]] = \mathbb{E}[p_1(1 - p_1)a + p_2(1 - p_2)b + \text{Cov}(a, b)] + \mathbb{D}[p_1 a + p_2 b] = \\ &= p_1(1 - p_1)\mathbb{E}a + p_2(1 - p_2)\mathbb{E}b + p_1^2 \mathbb{D}a + p_2^2 \mathbb{D}b \end{aligned}$$

Модель 2:

$$\begin{aligned} \mathbb{D}c &= \mathbb{E}[\mathbb{D}[c|a, b]] + \mathbb{D}[\mathbb{E}[c|a, b]] = \mathbb{E}[p_1 a + p_2 b + \text{Cov}(a, b)] + \mathbb{D}[p_1 a + p_2 b] = \\ &= p_1 \mathbb{E}a + p_2 \mathbb{E}b + p_1^2 \mathbb{D}a + p_2^2 \mathbb{D}b \end{aligned}$$

$\text{Cov}(a, b) = 0$ , так как случайные величины  $a$  и  $b$  независимы.

Для обеих моделей:

$$\begin{aligned} \mathbb{D}d &= \mathbb{E}[\mathbb{D}[d|c]] + \mathbb{D}[\mathbb{E}[d|c]] = \mathbb{E}[\mathbb{D}c + p_3(1 - p_3)c + \text{Cov}(c, \text{Bin}(c, p_3))] + \mathbb{D}[(1 + p_3)c] = \\ &= p_3(1 - p_3)\mathbb{E}c + (1 + p_3)^2 \mathbb{D}c \end{aligned}$$

$\mathbb{D}c = 0$ , так как дисперсия берется по  $d$ , то есть в данном случае  $c$  – это константа, а дисперсия от константы равняется нулю. Аналогично для  $\text{Cov}(c, \text{Bin}(c, p_3))$ , так как ковариация константы и случайной величины равняется нулю.

## 2.3 Числовые значения

Посчитаем числовые значения математических ожиданий и дисперсий априорных распределений при следующих параметрах:  $a_{min} = 75$ ,  $a_{max} = 90$ ,  $b_{min} = 500$ ,  $b_{max} = 600$ ,  $p_1 = 0.1$ ,  $p_2 = 0.01$ ,  $p_3 = 0.3$ .

Результаты приведены в таблице ниже.

	Модель 1	Модель 2
$\mathbb{E}a$	82.5	
$\mathbb{E}b$	550	
$\mathbb{E}c$	13.75	
$\mathbb{E}d$	17.875	
$\mathbb{D}a$	21.25	
$\mathbb{D}b$	850	
$\mathbb{D}c$	13.1675	14.0475
$\mathbb{D}d$	25.140575	26.627775

Таблица 1: Числовые значения мат.ожиданий и дисперсий априорных распределений

Видно, что первая модель лучше в смысле дисперсии для параметров  $c$  и  $d$ .

### 3 Уточнение прогноза

Выясним, как происходит уточнение прогноза для величины  $c$  по мере прихода новой косвенной информации. Для этого построим графики для распределений  $p(c)$ ,  $p(c|a)$ ,  $p(c|b)$ ,  $p(c|d)$ ,  $p(c|a, b)$ ,  $p(c|a, b, d)$  при параметрах  $a$ ,  $b$ ,  $d$ , равных мат.ожиданиям своих априорных распределений, округленных до ближайшего целого (Рис. 1), а также найдем мат.ожидания и дисперсии соответствующих распределений (Таблица 2).

В графиках для распределений ось абсцисс урезана до значения  $c = 30$ , поскольку дальше идут значения близкие к нулю.

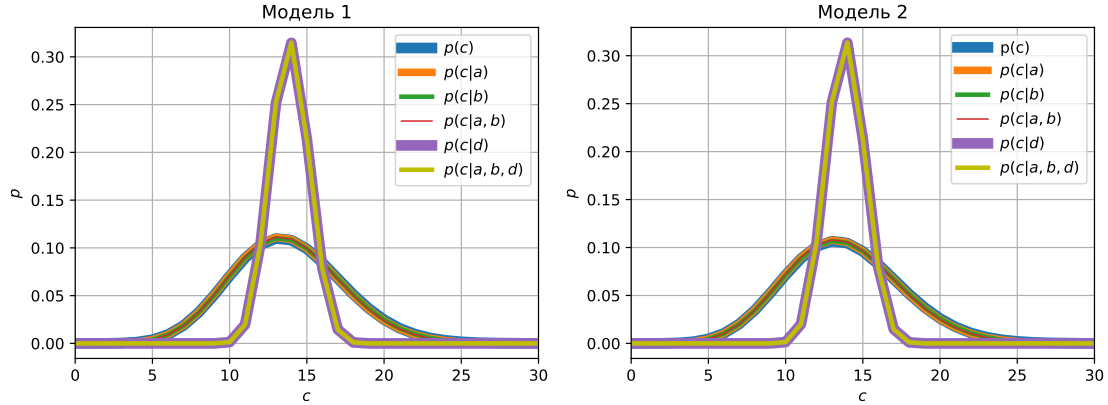


Рис. 1: Графики функций распределения

Можно заметить, что для обеих моделей кривые распределений делятся условно на две группы: те, у которых присутствует информация о  $d$  и те, у которых она отсутствует. Во втором случае кривые получаются более вытянутыми вверх и с меньшей дисперсией. Также видно, что добавление информации в виде мат.ожиданий  $a$  и  $b$  практически не повлияло на априорное распределение  $c$ .

	Модель 1	Модель 2
$\mathbb{E}c$	13.75	
$\mathbb{E}[c a]$	13.7	
$\mathbb{E}[c b]$	13.75	
$\mathbb{E}[c d]$	13.895971	13.893834
$\mathbb{E}[c a, b]$	13.7	
$\mathbb{E}[c a, b, d]$	13.890873	13.888971
$\mathbb{D}c$	13.1675	14.0475
$\mathbb{D}[c a]$	12.91	13.785
$\mathbb{D}[c b]$	13.0825	13.9625
$\mathbb{D}[c d]$	1.533582	1.543943
$\mathbb{D}[c a, b]$	12.825	13.7
$\mathbb{D}[c a, b, d]$	1.529425	1.540229

Таблица 2: Числовые значения мат.ожиданий и дисперсий условных распределений

Мат.ожидания и дисперсии соответствующих распределений были посчитаны по определению (кроме  $\mathbb{E}c$  и  $\mathbb{D}c$ , для которых были выведены формулы).

Как заметно из таблицы, мат.ожидания у обеих моделей примерно одинаковые, однако дисперсия меньше у первой модели.

### 4 Наибольший вклад в уточнение прогноза

Определим, какая из величин  $a$ ,  $b$ ,  $d$  вносит наибольший вклад в уточнение прогноза для величины  $c$  (в смысле дисперсии распределения).

Проверим, верно ли, что  $\mathbb{D}[c|d] < \mathbb{D}[c|a]$  и  $\mathbb{D}[c|d] < \mathbb{D}[c|b]$  для любых допустимых значений  $a$ ,  $b$ ,  $d$ . Для этого вычислим  $\max_d \mathbb{D}[c|d]$  и  $\min_a \mathbb{D}[c|a]$ ,  $\min_b \mathbb{D}[c|b]$ .

Модель 1:

$$\max_d \mathbb{D}[c|d] = 10.29869, \quad \min_a \mathbb{D}[c|a] = 12.28, \quad \min_b \mathbb{D}[c|b] = 12.5875$$

Модель 2:

$$\max_d \mathbb{D}[c|d] = 17.0098, \quad \min_a \mathbb{D}[c|a] = 13.085, \quad \min_b \mathbb{D}[c|b] = 13.4625$$

Видно, что для первой модели соотношения на дисперсии выполняются, а для второй, вообще говоря, нет. Это означает, что для первой модели информация в виде  $d$  гарантированно даст больший вклад в уточнение прогноза, чем  $a$  или  $b$ .

Далее, найдём множество точек  $(a, b)$  таких, что  $\mathbb{D}[c|b] < \mathbb{D}[c|a]$ . Изобразим его графически (Рис. 2), а также покажем, что множества  $\{(a, b) \mid \mathbb{D}[c|b] < \mathbb{D}[c|a]\}$  и  $\{(a, b) \mid \mathbb{D}[c|b] \geq \mathbb{D}[c|a]\}$  линейно разделимы.

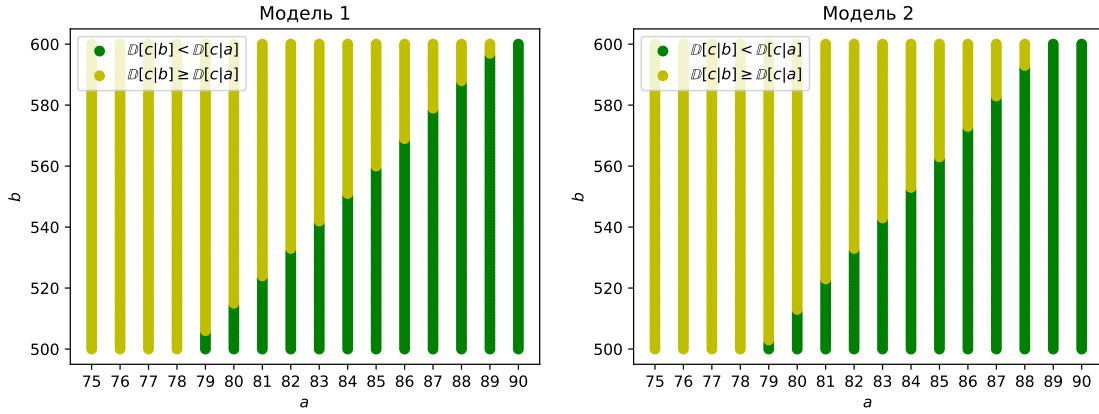


Рис. 2: Сравнение  $\mathbb{D}[c|a]$  и  $\mathbb{D}[c|b]$

Высоты зеленых столбцов равны:

- в модели 1:  $[0, 0, 0, 0, 6, 15, 24, 33, 42, 51, 60, 69, 79, 88, 97, 101]$ ;
- в модели 2:  $[0, 0, 0, 0, 3, 13, 23, 33, 43, 53, 63, 73, 83, 93, 101, 101]$ .

То есть возрастание идет с постоянным шагом (от ненулевого значения до максимального, равного 101): в модели 1 – 9, в модели 2 – 10. Следовательно, множества линейно разделимы в обоих случаях, так как можно провести прямую линию, разделяющую их (правда, есть все-таки скачок  $69 \rightarrow 79$  в 1 модели, где шаг равняется 10, но это все равно не мешает провести прямую, так как сетка дискретная и прямая может пройти в зазоре).

Отсюда следует, что нельзя однозначно сказать, какая из величин  $a$  или  $b$  даёт больший вклад в уточнение прогноза для обеих моделей.

## 5 Временные замеры

Проведем замеры по времени для функций  $p(c)$ ,  $p(c|a)$ ,  $p(c|b)$ ,  $p(c|d)$ ,  $p(c|a, b)$ ,  $p(c|a, b, d)$ ,  $p(d)$ . Результаты автоматически усреднятся с помощью встроенной в *jupyter notebook* функции *timeit*, а в качестве условных параметров возьмём мат.ожидания соответствующих априорных распределений, округленных до ближайшего целого.

Результаты приведены в **Таблице 3**.

Видно, что вторая модель работает быстрее, чем первая. Это вполне ожидаемо, поскольку в первой модели распределение  $p(c|a, b)$  имеет более сложную формулу для подсчета, чем во второй. И это распространяется на все остальные распределения, так как они высчитываются с помощью  $p(c|a, b)$ .

## 6 Сравнение двух моделей

Рассмотрев обе модели, можно сделать следующие выводы:

1. Первая модель работает дольше второй. Объясняется это тем, что для подсчета распределения  $p(c|a, b)$  используется свертка.
2. Вторая модель имеет большую дисперсию, чем первая. Объясняется это тем, что Пуассоновское распределение аппроксимирует биномиальное распределение. Следовательно, из-за этого теряется точность.
3. Для первой модели добавление информации в виде  $d$  гарантированно улучшает результат (в смысле дисперсии), по сравнению с параметрами  $a$  и  $b$ . Для второй модели это неверно из-за аппроксимации.

	Модель 1	Модель 2
$p(c)$	0.07139	0.06767
$p(c a)$	0.00996	0.00365
$p(c b)$	0.00114	0.00075
$p(c d)$	0.26448	0.24502
$p(c a, b)$	0.00036	0.00014
$p(c a, b, d)$	0.04609	0.04365
$p(d)$	0.14360	0.13520

Таблица 3: Временные замеры распределений в секундах